

УДК 666.762.5.046.4.017:620.18

**И.А. Ящишин, Т.Е. Константинова, И.А. Даниленко, Г.К. Волкова,
С.В. Прохоренко, В.В. Бурховецкий**

Донецкий физико-технический институт им. А.А. Галкина НАН Украины
г. Донецк, ул. Розы Люксембург, 72, Украина, 83114

ВЛИЯНИЕ ЛЕГИРОВАНИЯ ХРОМОМ НА СТРУКТУРУ И СВОЙСТВА КЕРАМИКИ НА ОСНОВЕ НАНОПОРОШКОВ ТЕТРАГОНАЛЬНОГО ДИОКСИДА ЦИРКОНИЯ

Ключевые слова: диоксид циркония, легирование хромом, нанопорошки, керамика, коэффициент трещиностойкости

Керамика на основе системы $ZrO_2 + 3 \text{ мол.\% } Y_2O_3 + xCr_2O_3$ ($x = 0; 0,3; 0,75; 1,5$ и $2,9 \text{ мол.\%}$) была получена спеканием в воздушной атмосфере при 1350 и 1500°C в течение 2 ч. Максимальное уплотнение образцов керамики достигается для промежуточных значений концентрации оксида хрома ($0,75$ и $1,5 \text{ мол.\%}$) и составляет $99,2\%$ от теоретической плотности. Значения открытой пористости керамики, полученные методом гидростатического взвешивания, не превышают $0,5\%$ для керамики, спеченной при 1500°C , и 2% для керамики, спеченной при 1350°C . Концентрационные зависимости твердости по Виккерсу и плотности хорошо коррелируют между собой, при этом коэффициент трещиностойкости растет линейно с увеличением количества оксида хрома, достигая максимального значения $10,7 \text{ МПа}\cdot\text{м}$ для керамики, спеченной при 1500°C .

Введение

Легированный диоксид циркония широко изучается благодаря уникальному набору свойств, таких, как высокая механическая прочность и трещиностойкость, высокая ионная проводимость, химическая и биологическая инертность. Такие характеристики обусловливают широкий диапазон применения данного материала в качестве структурной и функциональной керамики, электролитов твердотельных топливных элементов, биоимплантантов и пр. Для стабилизации высокотемпературных фаз диоксида циркония при комнатных температурах применяется легирование катионами Y^{3+} , Ca^{2+} , Mg^{2+} и др. В последнее время в литературе возрос интерес к многокомпонентному легированию двумя и более элементами, один из которых обычно используется в качестве стабилизатора, а остальные призваны изменять структуру материала, например предотвращать рост зерна. Легирование диоксида циркония хромом изучено слабо.

Среди большого количества элементов хром занимает особое место, так как в силу малого ионного радиуса ($R_{Cr} = 0,063$; $R_{Zr} = 0,084 \text{ нм}$) не является стабилизатором, но при этом он оказывает

© И.А. Ящишин,
Т.Е. Константинова,
И.А. Даниленко,
Г.К. Волкова,
С.В. Прохоренко,
В.В. Бурховецкий, 2010

значительное влияние на свойства диоксида циркония. Согласно литературным данным, введение хрома в стабилизированный диоксид циркония приводит к увеличению ионной проводимости [1, 2], трещиностойкости и плотности получаемой керамики [3, 4]. Наши предыдущие работы [5–8] по влиянию легирования хромом на свойства стабилизированного диоксида циркония обнаружили ряд необычных эффектов, в частности возрастание температуры кристаллизации наночастиц и подавление их роста, значительное увеличение количества парамагнитных центров, а также предела прочности и доли транскристаллитного излома керамики, полученной из нанопорошков. Компьютерное моделирование [9] электронной структуры кристалла ZrO_2 с примесями показало, что иттрий создает акцепторные уровни, а хром – донорные и значительно увеличивает энергию связи водорода с поверхностью нанопластины диоксида циркония. При этом указанные выше экспериментальные данные были получены всего для двух значений концентраций оксида хрома (0,5 и 5 мол.%). В данной работе мы приводим результаты исследования нанопорошков и керамики на их основе для более широкого набора концентраций оксида хрома: 0; 0,3; 0,75; 1,5 и 2,9 мол.%.

Экспериментальная часть

Нанопорошки диоксида циркония были приготовлены с использованием метода совместного осаждения. Смешанные водные растворы $ZrO(NO_3)_2$, $Y_2(NO_3)_3$ и $Cr(NO_3)_3 \cdot 9H_2O$, взятые в стехиометрическом соотношении, использовались в качестве исходных материалов. Оксидные нанопорошки были получены из гидроксидов путем прокаливания при температурах 400, 500, 600, 700 и 1000 °C в воздушной атмосфере. Химический состав приготовленных образцов следующий: $ZrO_2 + 3$ мол.% $Y_2O_3 + xCr_2O_3$ ($x = 0; 0,3; 0,75; 1,54; 2,9$). Образцы обозначены как ZYC_r , где r (0; 0,1; 0,25; 0,5; 1,0) показывает отношение количества оксида хрома к оксиду иттрия. Для изготовления керами-

ки были приготовлены 10 прессовок диаметром 10 мм и толщиной 5 мм. Образцы получали при помощи одноосного прессования с последующей обработкой гидростатическим давлением 500 МПа. Керамика спекалась при температурах 1350 и 1500 °C в воздушной атмосфере со скоростью набора температуры 3 °C/мин в течение 2 ч. Фазовый состав, средний размер частиц нанопорошков и размер областей когерентного рассеяния (ОКР) керамики определяли при помощи рентгенографического метода на дифрактометре ДРОН-3 в отфильтрованном медном излучении. Величину областей когерентного рассеяния порошков и керамики получили по формуле Шеррера [10]. Количественный фазовый состав определялся по значениям интенсивности рефлексов (111) и (-111) $m\text{-}ZrO_2$, рефлекса (111) $t\text{-}ZrO_2$ и рефлексов (004) и (400) $c\text{-}ZrO_2$ [11]. Плотность и пористость керамики определяли при помощи метода гидростатического взвешивания, значения теоретической плотности рассчитывали по методу, описанному в работе [12]. Твердость по Виккерсу и коэффициент трещиностойкости определяли при помощи метода индентирования при значении нагрузки, равном 196 Н [13]. Морфологию керамики и изломов исследовали при помощи растровой электронной микроскопии на микроскопе JEOL JSM-6490LV. Для определения размеров зерна керамики использовали термическое травление при температурах 1300 и 1450 °C в течение 30 мин.

Результаты и их обсуждение

Размер частиц и фазовый состав для нанопорошков, прокаленных при температурах 400–1000 °C, приведены в табл. 1. Зависимость размера частиц от концентрации оксида хрома немонотонна, с выраженным максимумом для концентрации 0,3 мол.% Cr_2O_3 . Такое поведение концентрационной зависимости неожиданно, поскольку предыдущие работы [6–8] демонстрируют уменьшение размера наночастиц при увеличении легирования оксидом хрома в количестве 0,5 и 5 мол.%.

Таблица 1. Средний размер частиц (D) и количество моноклинной фазы* в порошках $ZrO_2 + 3 \text{ мол.\% } Y_2O_3 + xCr_2O_3$, прокаленных в течение 2 ч при разных температурах

Состав нанопорошков	Температура прокаливания, °C									
	400		500		600		700		1000	
	D, нм	М-фаза, %	D, нм	М-фаза, %	D, нм	М-фаза, %	D, нм	М-фаза, %	D, нм	М-фаза, %
ZYC _{0,0}	10	1	10	3	15	1	17	2	32	2
ZYC _{0,1}	10	1	11	5	18	4	18	4	44	2
ZYC _{0,25}	10	1	11	7	15	7	17	5	41	2
ZYC _{0,5}	10	1	10	2	14	5	15	8	37	2
ZYC _{1,0}	10	1	10	1	12	4	13	0	35	2

*остальное – тетрагональная фаза (до 100%)

Таблица 2. Размер областей когерентного рассеяния рентгеновских лучей и фазовый состав керамики $ZrO_2 + 3 \text{ мол.\% } Y_2O_3 + xCr_2O_3$, спеченной при 1350 и 1500 °C

Состав керамики	ОКР, нм		Фазовый состав, %	
	1350 °C, 2 ч	1500 °C, 2 ч	1350 °C, 2 ч	1500 °C, 2 ч
ZYC _{0,0}	53	58	100 Т	100 Т
ZYC _{0,1}	50	50	100 Т	89 Т + 2 М + 9 К
ZYC _{0,25}	42	44	100 Т	87 Т + 4 М + 9 К
ZYC _{0,5}	42	44	98 Т + 2 М	90 Т + 1 М + 9 К
ZYC _{1,0}	50	50	98 Т + 3 М	88 Т + 3 М + 9 К

Прим. М – моноклинная фаза, Т – тетрагональная, К – кубическая

Зависимость количества моноклинной фазы от концентрации хрома также оказалась немонотонной. Максимальное значение количества моноклинной фазы для температур прокаливания 500 и 600 °C наблюдается при концентрации 0,75 мол.% Cr_2O_3 и составляет 7%. Для температуры прокаливания 700 °C максимальное количество моноклинной фазы составляет 8% и соответствует концентрации 1,5 мол.% Cr_2O_3 . При этом содержание моноклинной фазы в порошках, прокаленных при температурах 400 и 1000 °C, равно 1% и 2% соответственно. Следует отметить, что оксид хрома не наблюдается в виде отдельной фазы ни при одной из концентраций, что свидетельствует о гомогенности легирования данным оксидом.

Для приготовления керамики были выбраны нанопорошки, прокаленные при 600 °C, так как

именно при этой температуре прокаливания в предыдущих работах наблюдалась наиболее значительные изменения в структуре и свойствах этой системы [7]. Рентгеноструктурный анализ керамики демонстрирует немонотонную зависимость фазового состава и размера областей когерентного рассеяния от концентрации оксида хрома. Значения ОКР и фазовый состав керамики представлены в табл. 2. Легирование оксидом хрома приводит к уменьшению размеров ОКР на 30% для промежуточных значений концентрации (0,75 и 1,5 мол.%) с последующим ростом ОКР при увеличении количества оксида хрома по сравнению с образцом, не содержащим Cr_2O_3 . Керамика, спеченная при 1350 °C, является тетрагональной с небольшим количеством моноклинной фазы для двух последних концентраций (1,5%; 2,9%). Повышение темпе-

Таблица 3. Степень тетрагональности и объем элементарной ячейки керамики $\text{ZrO}_2 + 3 \text{ мол. \% } \text{Y}_2\text{O}_3 + x\text{Cr}_2\text{O}_3$, спеченной при 1350 и 1500 °C

Состав образцов	1350 °C		1500 °C	
	Степень тетрагональности, c/a	Объем элементарной ячейки, $\text{V}, \text{\AA}^3$	Степень тетрагональности, c/a	Объем элементарной ячейки $\text{V}, \text{\AA}^3$
ZYC _{0,0}	1,0159	134,94	1,01590	134,94
ZYC _{0,1}	1,0160	134,94	1,01654	134,36
ZYC _{0,25}	1,0160	135,00	1,01674	134,38
ZYC _{0,5}	1,01583	135,00	1,01671	134,54
ZYC _{1,0}	1,01550	135,00	1,01670	134,86

Таблица 4. Плотность, пористость и твердость керамики $\text{ZrO}_2 + 3 \text{ мол. \% } \text{Y}_2\text{O}_3 + x\text{Cr}_2\text{O}_3$, спеченной при температурах 1350 и 1500 °C

Состав керамики	Плотность, g/cm^3 (относительная плотность, %)		Открытая пористость, %		Твердость, ГПа	
	1350 °C	1500 °C	1350 °C	1500 °C	1350 °C	1500 °C
ZYC _{0,0}	5,97 (98,3)	5,98 (98,5)	0,10	0,22	13,7	13,2
ZYC _{0,1}	5,84 (96,5)	6,00 (98,7)	0,30	0,10	11,7	13,3
ZYC _{0,25}	5,80 (95,9)	6,01 (99,0)	0,09	0,19	11,8	13,9
ZYC _{0,5}	5,66 (93,9)	6,00 (99,2)	0,09	0,07	10,7	13,3
ZYC _{1,0}	5,24 (87,4)	5,91 (98,4)	1,98	0,10	7,9	13,1

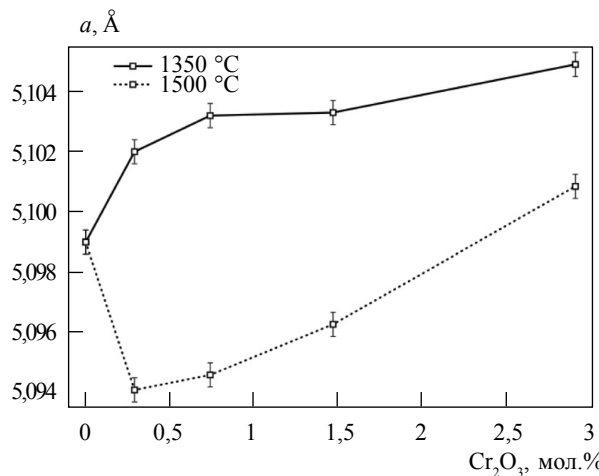


Рис. 1. Зависимость параметра решетки a от концентрации оксида хрома для керамики $\text{ZrO}_2 + 3 \text{ мол. \% } \text{Y}_2\text{O}_3 + x\text{Cr}_2\text{O}_3$, спеченной при 1350 и 1500 °C

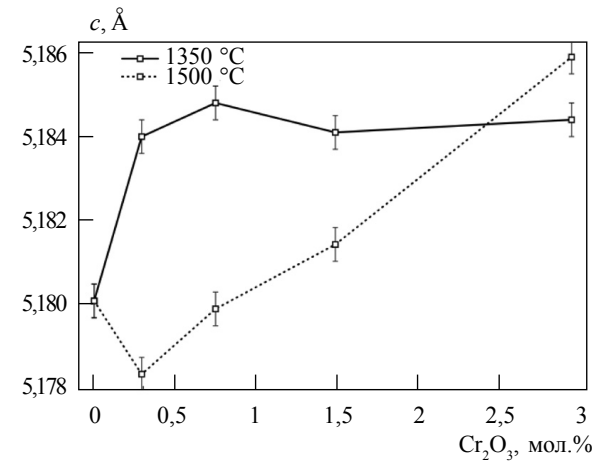


Рис. 2. Зависимость параметра решетки c от концентрации оксида хрома для керамики $\text{ZrO}_2 + 3 \text{ мол. \% } \text{Y}_2\text{O}_3 + x\text{Cr}_2\text{O}_3$, спеченной при 1350 и 1500 °C

ратуры спекания до 1500 °C приводит к увеличению количества моноклинной фазы до 4% и появлению в хромсодержащих образцах кубической фазы до 9%, при этом Cr_2O_3 в виде отдельной фазы не наблюдается ни при одной из концентраций.

Особый интерес представляет исследование влияния легирования оксидом хрома на параметры решетки диоксида циркония. Значения параметров решетки a и c представлены на рис. 1 и 2, степень тетрагональности и объем элементарной ячейки – в табл. 3. Сопоставив параметры, характеризующие кристаллическую ячейку, – степень тетрагональности и ее объем, можно видеть, что они ведут себя по-разному в низкотемпературной и высокотемпературной керамике. С увеличением количества Cr_2O_3 при возрастающих параметрах a и c объем элементарной ячейки практически не изменяется при том, что плотность керамики, как и степень тетрагональности, уменьшаются.

В высокотемпературной плотной керамике с увеличением содержания Cr_2O_3 возрастание параметров a и c сопровождается увеличением объема ячейки и степени тетрагональности.

В работе [7] предложена модель, согласно которой в керамике такого состава образуются

комплексы Zr–Y–Cr– (последний символ означает наличие вакансии по кислороду). Вероятно, они по-разному изменяют параметры решетки c и a в керамике, спеченной при 1350 и 1500 °C, и, соответственно, степень тетрагональности c/a и объем ячейки. При этом в плотной керамике не существует так называемого свободного объема для сброса, однако количество комплексов в такой керамике больше, чем при 1350 °C. Также не исключено, что в высокотемпературной керамике движение комплексов происходит иначе, по принципу самосогласованных систем – образуется определенная иерархическая соподчиненность.

Полученные значения параметров решетки были использованы для расчета величины теоретической плотности по методике, описанной в работе [12]. Значения плотности керамики, измеренные методом гидростатического взвешивания и относительной плотности, представлены в табл. 3. Максимальные значения плотности достигаются для промежуточных значений концентрации оксида хрома (0,75 и 1,5 мол.%) в керамике, спеченной при 1500 °C, и составляют 99,0% и 99,2% от теоретической плотности соответственно. При этом плотность керамики, спеченной при 1350 °C, монотонно падает с ростом концентрации оксида хрома – с 98,5%

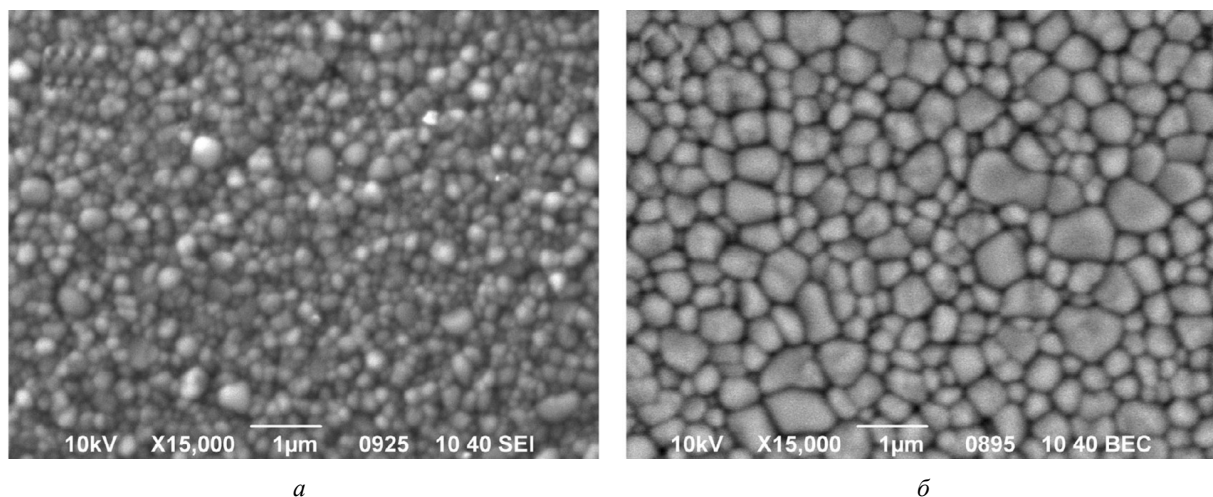


Рис. 3. Микрофотографии поверхности термически протравленной керамики $\text{ZrO}_2 + 3$ мол.% $\text{Y}_2\text{O}_3 + 1,5\text{Cr}_2\text{O}_3$, спеченной при 1350 °C (a) и 1500 °C (б) (термическое травление осуществлялось при 1300 и 1450 °C в течение 30 мин)

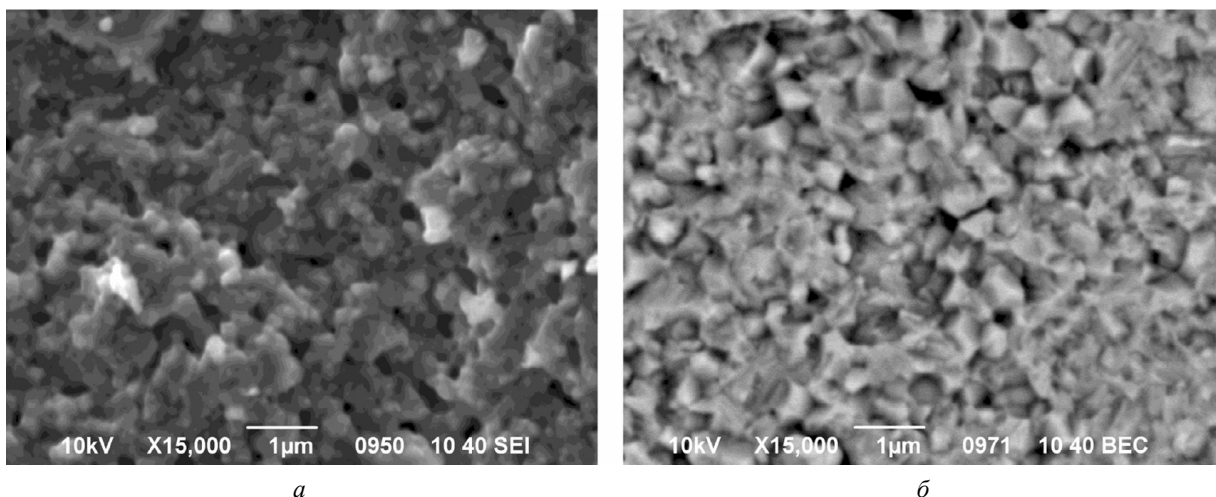


Рис. 4. Микрофотографии изломов керамики $\text{ZrO}_2 + 3 \text{ мол. \% } \text{Y}_2\text{O}_3 + 1,5\text{Cr}_2\text{O}_3$, спеченной при 1350°C (*а*) и 1500°C (*б*)

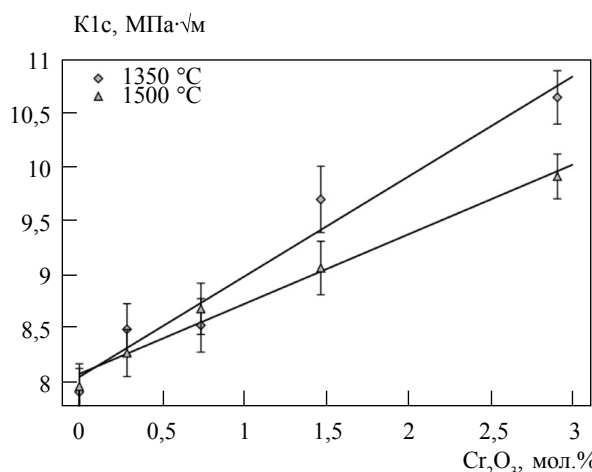


Рис. 5. Зависимость коэффициента трещиностойкости от концентрации оксида хрома для керамики $\text{ZrO}_2 + 3 \text{ мол. \% } \text{Y}_2\text{O}_3 + x\text{Cr}_2\text{O}_3$, спеченной при температурах 1350 и 1500°C (величина нагрузки 196 H)

до $87,4\%$ от теоретической плотности. Значения открытой пористости керамики, спеченной при двух температурах, не превышают $0,3\%$, за исключением концентрации $2,9 \text{ мол. \%}$, при которой пористость составляет 2% для температуры спекания 1350°C (табл. 3.). Концентрационная зависимость твердости по Виккерсу хорошо коррелирует с зависимостью плотности

керамики, достигая своего максимального значения $13,9 \text{ ГПа}$ для концентрации $0,75 \text{ мол. \%}$ и демонстрируя монотонное снижение значений твердости для керамики, спеченной при 1350°C (табл. 3.).

Изображения структуры термически проправленной керамики и изломов для образца $\text{ZYC}_{0,5}$ представлены на рис. 3. и 4 соответственно. Средний размер зерна, определенный методом электронной микроскопии, составляет 210 и 420 нм и практически не зависит от концентрации оксида хрома. Трещиностойкость керамики возрастает линейно с увеличением концентрации оксида хрома, при этом трещиностойкость образцов, спеченных при 1350°C , выше, чем образцов, спеченных при 1500°C , что связано с уменьшением их плотности (рис. 5). Сканирующая электронная микроскопия изломов керамики демонстрирует увеличение доли транскристаллитного излома с ростом количества легирующей добавки.

Выводы

Легирование оксидом хрома стабилизированного диоксида циркония приводит к повышению плотности (до $99,2\%$ от теоретической), увеличению значений твердости и трещиностойкос-

ти, т. е. в целом к усилению физико-механических свойств по сравнению с керамикой, не содержащей оксида хрома. В составе тетрагональной керамики появляются моноклинная и кубическая фазы в количестве 4% и 9% соответственно. Введение оксида хрома вызывает изменения параметров решетки, объема элементарной ячейки и степени тетрагональности керамики. При этом для высокотемпературной и низкотемпературной керамики данные параметры в зависимости от количества оксида хрома изменяются по-разному. Такое отличие может быть связано с образованием комплексов Zr–Y–Cr– и их неодинаковым поведением при различных температурах спекания.

Кераміку на основі системи $ZrO_2 + 3 \text{ мол. \% } Y_2O_3 + xCr_2O_3$ ($x = 0; 0.3; 0.75; 1.5 \text{ і } 2.9 \text{ мол. \%}$) було отримано спіканим у повітряній атмосфері при 1350 та 1500°C впродовж 2 год. Максимальне ущільнення керамічних зразків досягається для проміжних концентрацій оксиду хрому (0.75 і 1.5 мол. \%) та дорівнює 99.2% від теоретичної щільності. Значення відкритої пористості кераміки, одержані методом гідростатичного зважування, не перевищують 0.5% для кераміки, спеченої при 1500°C , та 2% для кераміки, спеченої при 1350°C . Концентраційні залежності твердості за Віккерсом і щільності добре корелюють між собою, при цьому коефіцієнт тріщиностійкості лінійно зростає зі збільшенням кількості оксиду хрому, сягаючи максимального значення $10.7 \text{ MPa}\cdot\text{m}^{0.5}$ для кераміки, спеченої при 1500°C .

Ключові слова: діоксид цирконію, легування хромом, напорошки, кераміка, коефіцієнт тріщиностійкості

Cr-doped yttrium stabilized zirconia ceramics of $ZrO_2 + 3 \text{ mol\% } Y_2O_3 + xCr_2O_3$ ($x = 0; 0.3; 0.5; 1.5 \text{ and } 2.9 \text{ mol\%}$) composition was sintered at 1350 and 1500°C for 2 h. Highest density of 99.2% of theoretical density is reached for intermediate concentrations of chromium oxide (0.75 and 1.5 mol\%). Values of open porosity are below 0.5% for ceramics sintered at 1500°C and below 2% for ceramics sintered at 1350°C . Concentration dependences of Vickers hardness and density correlate well and fracture toughness of ceramics increase linearly with chromium amount increase reaching maximum value of $10.7 \text{ MPa}\cdot\text{m}^{0.5}$ for ceramics sintered at 1500°C .

Key words: zirconium dioxide, chromium doping, nanopowders, ceramics, fracture toughness

1. Molin S., Gazda M., Jasinski P. Interaction of yttria stabilized zirconia electrolyte with Fe_2O_3 and Cr_2O_3 // Journal of Power Sources. – 2009. – **194**, N 1. – P. 20–24.
2. Jayaratna M., Yoshimura M., Somiya S. Electrical conductivity of Cr_2O_3 -doped Y_2O_3 -stabilized ZrO_2 // J. Mat. Sci. – 1987. – **22**, N 6. – P. 2011–2016.
3. Jayaratna M., Yoshimura M., Somiya S. Hot pressing of Y_2O_3 -stabilized ZrO_2 with Cr_2O_3 additions // J. Mat. Sci. – 1986. – **21**, N 2. – P. 591–596.
4. Formation, Characterization, and Hot Isostatic Pressing of Cr_2O_3 -doped ZrO_2 ($0.3 \text{ mol\% } Y_2O_3$) Prepared by Hydrazine Method / S. Hirano, M. Yoshinaka, K. Hirota, O. Yamaguchi // J. Am. Cer. Soc. – 1996. – **79**, N 1. – P. 171–176.
5. Формирование структуры керамики $ZrO_2 - 3 \text{ мол.\% } Y_2O_3$ в процессе спекания и особенности ее разрушения / Т.Е. Константинова, И.А. Даниленко, А.В. Горох, Г.К. Волкова // Огнеупоры и техническая керамика. – 2001. – № 3. – С. 12–16.
6. TEM, ESR, and XRD studies of thermally induced formation of nanocrystalline zirconia / Konstantinova T., Danilenko I., Dobrikov A. et al. // CIMTEC'2002, July 14–18, 2002, Florence, p. 5.
7. Свойства нанокристаллического тетрагонального диоксида циркония в системе $ZrO_2-Y_2O_3-Cr_2O_3$ / Константинова Т.Е., Токий В.В., Даниленко И.А. и др. // Наносистемы, наноматериалы, нанотехнологии. – 2008. – **6**, № 4. – С. 1147–1158.
8. X-ray photoelectron spectroscopy of nanopowders of $ZrO_2-Y_2O_3-Cr_2O_3$ compounds / Korduban A.M., Yashchishyn I.A., Konstantinova T.E. et al. // Functional Materials. – 2007. – **14**, N 4. – P. 454–459.
9. Computational modeling of electron properties of 26-d elements in nanolayer Y-doped tetragonal zirconia / N. Tokiy, T. Konstantinova, D. Savina, V. Tokiy // CIMTEC'2002, July 14–18, 2002, Florence, p. 127.
10. Patterson A.L. The Scherrer Formula for X-Ray Particle Size Determination // Phys. Rev. – 1939. – **56**, N 10. – P. 978–982.
11. Chysovitina T.V., Toporov Yu.S., Tretnikova M.G. Properties of ceramics based on zirconia partly stabilized with yttrium concentrate // Refractories and Industrial Ceramics. – 1991. – **32**, N. 5–6. – P. 277–279.
12. Миркин Л.И. Справочник по рентгеноструктурному анализу поликристаллов. – М.: Гос. изд-во физ.-мат. л-ры, 1961. – 863 с.
13. Determination of K_{ISCC} by indentation in ceramics / K.M. Liang, R. Torrecillas, G. Orange, G. Fantozzi // J. Mat. Sci. – 1990. – **25**, N 12. – P. 5077–5080.